

神戸大学工学部 正員 松梨順三郎  
神戸大学工学部 正員 石田清一

まえがき 最終沈殿池は曝気槽を経た混合水の固液の分離と活性汚泥の分離という重要な機能をもつている。その規模および構造は完全混合モデルあるいは押出モデルなど、いわゆる理想沈殿状態を想定して解析され、下水道施設基準にまとめられている。しかし、実状によると、流入下水の特性によってはバルギング現象が発生し、著しい沈殿率の低下をきたしている。特徴の第1はSVI値の小さい、沈殿性の汚泥をつくりだすことにあらが、本研究ではこうした水理的な観点からではなく、沈殿池内の汚泥の沈殿現象を純水理学的表現でとらえ、現象の数値シミュレーションを実施したのでその大要を報告する。

1. 基礎方程式 神戸市西部処理場の最終沈殿池(長さ44m、幅12m、深さ3.3m)を研究の対象とし、簡単のために図-1のように一次元として数値解析のモデルを設定した。まず、流入水量および流入負荷を一定として、汚泥の沈殿池での拡散輸送に注目する。現象を支配する基礎式をつきのように設定した。

$$\frac{\partial \rho}{\partial t} + \frac{\partial}{\partial x} (\rho u) + \frac{\partial}{\partial y} (\rho v) = 0 \quad (1)$$

$$\frac{\partial u}{\partial t} + u \frac{\partial u}{\partial x} + v \frac{\partial u}{\partial y} = g \sin \theta - \frac{1}{\rho} \frac{\partial p}{\partial x} + \epsilon_{11} \frac{\partial^2 u}{\partial x^2} + \epsilon_{12} \frac{\partial^2 u}{\partial y^2} \quad (2)$$

$$\frac{\partial v}{\partial t} + u \frac{\partial v}{\partial x} + v \frac{\partial v}{\partial y} = -g \cos \theta - \frac{1}{\rho} \frac{\partial p}{\partial y} + \epsilon_{21} \frac{\partial^2 v}{\partial x^2} + \epsilon_{22} \frac{\partial^2 v}{\partial y^2} \quad (3)$$

$$\frac{\partial c}{\partial t} + \frac{\partial}{\partial x} (uc) + \frac{\partial}{\partial y} (vc) = \frac{\partial}{\partial x} (D_x \frac{\partial c}{\partial x}) + \frac{\partial}{\partial y} (D_y \frac{\partial c}{\partial y}) + \frac{\partial}{\partial y} (w_c c) \quad (4)$$

$$\rho = \rho_w + \frac{c}{Y_s} (Y_s - 1) \quad (5)$$

ここで、 $u, v$  は  $x, y$  方向の流速成分、 $p$  は圧力、 $\theta$  は水面勾配、 $g$  は重力加速度、 $x, y$  は空間座標、 $t$  は時間、 $C$  とは汚泥の濃度と密度、 $\rho_w$  は水の密度、 $Y_s$  は汚泥の

乾燥比容、 $w_c$  は汚泥粒子の沈降速度、 $\epsilon_{ij}$  ( $i, j = 1, 2$ ) は運動量

拡散係数、 $D_x, D_y$  は質量拡散係数とする。汚泥の濃度  $C$  ま

たは密度  $\rho$  の時間変化によらず、 $u, v, p$  への寄与は微小である

として本研究ではつきのよう二段階の解析手法をとつた。

1) 水流の非定常性は非常に弱いのでこれを無視し、

1ステップごととして、 $\partial p / \partial t = 0, \partial u / \partial t = 0, \partial v / \partial t = 0$  として、 $p = p$

( $x, y$ ) は既知関数として、式(1), (2), (3) と未知量  $u(x, y), v(x,$

$y), p(x, y)$  はついて解く。2) 第1ステップごとに解いた定常解  $u$

( $x, y$ ),  $v(x, y)$  を式(4)に代入して  $C$  を求め、式(5)によつて新しい  $p(x, y)$  を求める。この

手順をくりかえす。二の場合、水流および拡散の計算に用いる時間ステップをそれぞれ

$\Delta T$  および  $\delta t$  とし、 $\Delta T = (20 \times 30) \delta t$  とした。また  $\Delta T$  の間は拡散によって濃度  $C$  し

てかづく密度  $\rho$  は変化するが、その定常解  $u, v, p$  への寄与は微小として省略した。

2. 汚泥の計算 全境界を図-2のように  $\Gamma = \Gamma_1 + \Gamma_2 + \cdots + \Gamma_6$  とし、境界条件として  $\Gamma_1$  で

$u = U = 3.57 \text{ cm/s}, v = 0, \Gamma_2$  で  $u = v = 0, \Gamma_3$  で  $u = 0, v = -0.0118 \text{ cm/s}, \Gamma_4$  で  $u = v = 0,$

$u = U = 3.57 \text{ cm/s}, v = 0, \Gamma_5$  で  $u = v = 0, \Gamma_6$  で  $u = v = 0$

とした。

3. 流れの計算 全域を図-2のように  $\Gamma = \Gamma_1 + \Gamma_2 + \cdots + \Gamma_6$  とし、境界条件として  $\Gamma_1$  で

$u = U = 3.57 \text{ cm/s}, v = 0, \Gamma_2$  で  $u = v = 0, \Gamma_3$  で  $u = 0, v = -0.0118 \text{ cm/s}, \Gamma_4$  で  $u = v = 0,$

$u = U = 3.57 \text{ cm/s}, v = 0, \Gamma_5$  で  $u = v = 0, \Gamma_6$  で  $u = v = 0$

とした。

4. 汚泥の計算 全域を図-2のように  $\Gamma = \Gamma_1 + \Gamma_2 + \cdots + \Gamma_6$  とし、境界条件として  $\Gamma_1$  で

$u = U = 3.57 \text{ cm/s}, v = 0, \Gamma_2$  で  $u = v = 0, \Gamma_3$  で  $u = 0, v = -0.0118 \text{ cm/s}, \Gamma_4$  で  $u = v = 0,$

$u = U = 3.57 \text{ cm/s}, v = 0, \Gamma_5$  で  $u = v = 0, \Gamma_6$  で  $u = v = 0$

とした。

5. 汚泥の計算 全域を図-2のように  $\Gamma = \Gamma_1 + \Gamma_2 + \cdots + \Gamma_6$  とし、境界条件として  $\Gamma_1$  で

$u = U = 3.57 \text{ cm/s}, v = 0, \Gamma_2$  で  $u = v = 0, \Gamma_3$  で  $u = 0, v = -0.0118 \text{ cm/s}, \Gamma_4$  で  $u = v = 0,$

$u = U = 3.57 \text{ cm/s}, v = 0, \Gamma_5$  で  $u = v = 0, \Gamma_6$  で  $u = v = 0$

とした。

6. 汚泥の計算 全域を図-2のように  $\Gamma = \Gamma_1 + \Gamma_2 + \cdots + \Gamma_6$  とし、境界条件として  $\Gamma_1$  で

$u = U = 3.57 \text{ cm/s}, v = 0, \Gamma_2$  で  $u = v = 0, \Gamma_3$  で  $u = 0, v = -0.0118 \text{ cm/s}, \Gamma_4$  で  $u = v = 0,$

$u = U = 3.57 \text{ cm/s}, v = 0, \Gamma_5$  で  $u = v = 0, \Gamma_6$  で  $u = v = 0$

とした。

7. 汚泥の計算 全域を図-2のように  $\Gamma = \Gamma_1 + \Gamma_2 + \cdots + \Gamma_6$  とし、境界条件として  $\Gamma_1$  で

$u = U = 3.57 \text{ cm/s}, v = 0, \Gamma_2$  で  $u = v = 0, \Gamma_3$  で  $u = 0, v = -0.0118 \text{ cm/s}, \Gamma_4$  で  $u = v = 0,$

$u = U = 3.57 \text{ cm/s}, v = 0, \Gamma_5$  で  $u = v = 0, \Gamma_6$  で  $u = v = 0$

とした。

8. 汚泥の計算 全域を図-2のように  $\Gamma = \Gamma_1 + \Gamma_2 + \cdots + \Gamma_6$  とし、境界条件として  $\Gamma_1$  で

$u = U = 3.57 \text{ cm/s}, v = 0, \Gamma_2$  で  $u = v = 0, \Gamma_3$  で  $u = 0, v = -0.0118 \text{ cm/s}, \Gamma_4$  で  $u = v = 0,$

$u = U = 3.57 \text{ cm/s}, v = 0, \Gamma_5$  で  $u = v = 0, \Gamma_6$  で  $u = v = 0$

とした。

9. 汚泥の計算 全域を図-2のように  $\Gamma = \Gamma_1 + \Gamma_2 + \cdots + \Gamma_6$  とし、境界条件として  $\Gamma_1$  で

$u = U = 3.57 \text{ cm/s}, v = 0, \Gamma_2$  で  $u = v = 0, \Gamma_3$  で  $u = 0, v = -0.0118 \text{ cm/s}, \Gamma_4$  で  $u = v = 0,$

$u = U = 3.57 \text{ cm/s}, v = 0, \Gamma_5$  で  $u = v = 0, \Gamma_6$  で  $u = v = 0$

とした。

10. 汚泥の計算 全域を図-2のように  $\Gamma = \Gamma_1 + \Gamma_2 + \cdots + \Gamma_6$  とし、境界条件として  $\Gamma_1$  で

$u = U = 3.57 \text{ cm/s}, v = 0, \Gamma_2$  で  $u = v = 0, \Gamma_3$  で  $u = 0, v = -0.0118 \text{ cm/s}, \Gamma_4$  で  $u = v = 0,$

$u = U = 3.57 \text{ cm/s}, v = 0, \Gamma_5$  で  $u = v = 0, \Gamma_6$  で  $u = v = 0$

とした。

11. 汚泥の計算 全域を図-2のように  $\Gamma = \Gamma_1 + \Gamma_2 + \cdots + \Gamma_6$  とし、境界条件として  $\Gamma_1$  で

$u = U = 3.57 \text{ cm/s}, v = 0, \Gamma_2$  で  $u = v = 0, \Gamma_3$  で  $u = 0, v = -0.0118 \text{ cm/s}, \Gamma_4$  で  $u = v = 0,$

$u = U = 3.57 \text{ cm/s}, v = 0, \Gamma_5$  で  $u = v = 0, \Gamma_6$  で  $u = v = 0$

とした。

12. 汚泥の計算 全域を図-2のように  $\Gamma = \Gamma_1 + \Gamma_2 + \cdots + \Gamma_6$  とし、境界条件として  $\Gamma_1$  で

$u = U = 3.57 \text{ cm/s}, v = 0, \Gamma_2$  で  $u = v = 0, \Gamma_3$  で  $u = 0, v = -0.0118 \text{ cm/s}, \Gamma_4$  で  $u = v = 0,$

$u = U = 3.57 \text{ cm/s}, v = 0, \Gamma_5$  で  $u = v = 0, \Gamma_6$  で  $u = v = 0$

とした。

13. 汚泥の計算 全域を図-2のように  $\Gamma = \Gamma_1 + \Gamma_2 + \cdots + \Gamma_6$  とし、境界条件として  $\Gamma_1$  で

$u = U = 3.57 \text{ cm/s}, v = 0, \Gamma_2$  で  $u = v = 0, \Gamma_3$  で  $u = 0, v = -0.0118 \text{ cm/s}, \Gamma_4$  で  $u = v = 0,$

$u = U = 3.57 \text{ cm/s}, v = 0, \Gamma_5$  で  $u = v = 0, \Gamma_6$  で  $u = v = 0$

とした。

14. 汚泥の計算 全域を図-2のように  $\Gamma = \Gamma_1 + \Gamma_2 + \cdots + \Gamma_6$  とし、境界条件として  $\Gamma_1$  で

$u = U = 3.57 \text{ cm/s}, v = 0, \Gamma_2$  で  $u = v = 0, \Gamma_3$  で  $u = 0, v = -0.0118 \text{ cm/s}, \Gamma_4$  で  $u = v = 0,$

$u = U = 3.57 \text{ cm/s}, v = 0, \Gamma_5$  で  $u = v = 0, \Gamma_6$  で  $u = v = 0$

とした。

15. 汚泥の計算 全域を図-2のように  $\Gamma = \Gamma_1 + \Gamma_2 + \cdots + \Gamma_6$  とし、境界条件として  $\Gamma_1$  で

$u = U = 3.57 \text{ cm/s}, v = 0, \Gamma_2$  で  $u = v = 0, \Gamma_3$  で  $u = 0, v = -0.0118 \text{ cm/s}, \Gamma_4$  で  $u = v = 0,$

$u = U = 3.57 \text{ cm/s}, v = 0, \Gamma_5$  で  $u = v = 0, \Gamma_6$  で  $u = v = 0$

とした。

16. 汚泥の計算 全域を図-2のように  $\Gamma = \Gamma_1 + \Gamma_2 + \cdots + \Gamma_6$  とし、境界条件として  $\Gamma_1$  で

$u = U = 3.57 \text{ cm/s}, v = 0, \Gamma_2$  で  $u = v = 0, \Gamma_3$  で  $u = 0, v = -0.0118 \text{ cm/s}, \Gamma_4$  で  $u = v = 0,$

$u = U = 3.57 \text{ cm/s}, v = 0, \Gamma_5$  で  $u = v = 0, \Gamma_6$  で  $u = v = 0$

とした。

17. 汚泥の計算 全域を図-2のように  $\Gamma = \Gamma_1 + \Gamma_2 + \cdots + \Gamma_6$  とし、境界条件として  $\Gamma_1$  で

$u = U = 3.57 \text{ cm/s}, v = 0, \Gamma_2$  で  $u = v = 0, \Gamma_3$  で  $u = 0, v = -0.0118 \text{ cm/s}, \Gamma_4$  で  $u = v = 0,$

$u = U = 3.57 \text{ cm/s}, v = 0, \Gamma_5$  で  $u = v = 0, \Gamma_6$  で  $u = v = 0$

とした。

18. 汚泥の計算 全域を図-2のように  $\Gamma = \Gamma_1 + \Gamma_2 + \cdots + \Gamma_6$  とし、境界条件として  $\Gamma_1$  で

$u = U = 3.57 \text{ cm/s}, v = 0, \Gamma_2$  で  $u = v = 0, \Gamma_3$  で  $u = 0, v = -0.0118 \text{ cm/s}, \Gamma_4$  で  $u = v = 0,$

$u = U = 3.57 \text{ cm/s}, v = 0, \Gamma_5$  で  $u = v = 0, \Gamma_6$  で  $u = v = 0$

とした。

19. 汚泥の計算 全域を図-2のように  $\Gamma = \Gamma_1 + \Gamma_2 + \cdots + \Gamma_6$  とし、境界条件として  $\Gamma_1$  で

$u = U = 3.57 \text{ cm/s}, v = 0, \Gamma_2$  で  $u = v = 0, \Gamma_3$  で  $u = 0, v = -0.0118 \text{ cm/s}, \Gamma_4$  で  $u = v = 0,$

$u = U = 3.57 \text{ cm/s}, v = 0, \Gamma_5$  で  $u = v = 0, \Gamma_6$  で  $u = v = 0$

とした。

20. 汚泥の計算 全域を図-2のように  $\Gamma = \Gamma_1 + \Gamma_2 + \cdots + \Gamma_6$  とし、境界条件として  $\Gamma_1$  で

$u = U = 3.57 \text{ cm/s}, v = 0, \Gamma_2$  で  $u = v = 0, \Gamma_3$  で  $u = 0, v = -0.0118 \text{ cm/s}, \Gamma_4$  で  $u = v = 0,$

$u = U = 3.57 \text{ cm/s}, v = 0, \Gamma_5$  で  $u = v = 0, \Gamma_6$  で  $u = v = 0$

とした。

21. 汚泥の計算 全域を図-2のように  $\Gamma = \Gamma_1 + \Gamma_2 + \cdots + \Gamma_6$  とし、境界条件として  $\Gamma_1$  で

$u = U = 3.57 \text{ cm/s}, v = 0, \Gamma_2$  で  $u = v = 0, \Gamma_3$  で  $u = 0, v = -0.0118 \text{ cm/s}, \Gamma_4$  で  $u = v = 0,$

$u = U = 3.57 \text{ cm/s}, v = 0, \Gamma_5$  で  $u = v = 0, \Gamma_6$  で  $u = v = 0$

とした。

22. 汚泥の計算 全域を図-2のように  $\Gamma = \Gamma_1 + \Gamma_2 + \cdots + \Gamma_6$  とし、境界条件として  $\Gamma_1$  で

$u = U = 3.57 \text{ cm/s}, v = 0, \Gamma_2$  で  $u = v = 0, \Gamma_3$  で  $u = 0, v = -0.0118 \text{ cm/s}, \Gamma_4$  で  $u = v = 0,$

$u = U = 3.57 \text{ cm/s}, v = 0, \Gamma_5$  で  $u = v = 0, \Gamma_6$  で  $u = v = 0$

とした。

23. 汚泥の計算 全域を図-2のように  $\Gamma = \Gamma_1 + \Gamma_2 + \cdots + \Gamma_6$  とし、境界条件として  $\Gamma_1$  で

$u = U = 3.57 \text{ cm/s}, v = 0, \Gamma_2$  で  $u = v = 0, \Gamma_3$  で  $u = 0, v = -0.0118 \text{ cm/s}, \Gamma_4$  で  $u = v = 0,$

$u = U = 3.57 \text{ cm/s}, v = 0, \Gamma_5$  で  $u = v = 0, \Gamma_6$  で  $u = v = 0$

とした。

24. 汚泥の計算 全域を図-2のように  $\Gamma = \Gamma_1 + \Gamma_2 + \cdots + \Gamma_6$  とし、境界条件として  $\Gamma_1$  で

$u = U = 3.57 \text{ cm/s}, v = 0, \Gamma_2$  で  $u = v = 0, \Gamma_3$  で  $u = 0, v = -0.0118 \text{ cm/s}, \Gamma_4$  で  $u = v = 0,$

$u = U = 3.57 \text{ cm/s}, v = 0, \Gamma_5$  で  $u = v = 0, \Gamma_6$  で  $u = v = 0$

とした。

25. 汚泥の計算 全域を図-2のように  $\Gamma = \Gamma_1 + \Gamma_2 + \cdots + \Gamma_6$  とし、境界条件として  $\Gamma_1$  で

$u = U = 3.57 \text{ cm/s}, v = 0, \Gamma_2$  で  $u = v = 0, \Gamma_3$  で  $u = 0, v = -0.0118 \text{ cm/s}, \Gamma_4$  で  $u = v = 0,$

$u = U = 3.57 \text{ cm/s}, v = 0, \Gamma_5$  で  $u = v = 0, \Gamma_6$  で  $u = v = 0$

とした。

26. 汚泥の計算 全域を図-2のように  $\Gamma = \Gamma_1 + \Gamma_2 + \cdots + \Gamma_6$  とし、境界条件として  $\Gamma_1$  で

$u = U = 3.57 \text{ cm/s}, v = 0, \Gamma_2$  で  $u = v = 0, \Gamma_3$  で  $u = 0, v = -0.0118 \text{ cm/s}, \Gamma_4$  で  $u = v = 0,$

$u = U = 3.57 \text{ cm/s}, v = 0, \Gamma_5$  で  $u = v = 0, \Gamma_6$  で  $u = v = 0$

とした。

27. 汚泥の計算 全域を図-2のように  $\Gamma = \Gamma_1 + \Gamma_2 + \cdots + \Gamma_6$  とし、境界条件として  $\Gamma_1$  で

$u = U = 3.57 \text{ cm/s}, v = 0, \Gamma_2$  で  $u = v = 0, \Gamma_3$  で  $u = 0, v = -0.0118 \text{ cm/s}, \Gamma_4$  で  $u = v = 0,$

$u = U = 3.57 \text{ cm/s}, v = 0, \Gamma_5$  で  $u = v = 0, \Gamma_6$  で  $u = v = 0$

とした。

28. 汚泥の計算 全域を図-2のように  $\Gamma = \Gamma_1 + \Gamma_2 + \cdots + \Gamma_6$  とし、境界条件として  $\Gamma_1$  で

$u = U = 3.57 \text{ cm/s}, v = 0, \Gamma_2$  で  $u = v = 0, \Gamma_3$  で  $u = 0, v = -0.0118 \text{ cm/s}, \Gamma_4$  で  $u = v = 0,$

$u = U = 3.57 \text{ cm/s}, v = 0, \Gamma_5$  で  $u = v = 0, \Gamma_6$  で  $u = v = 0$

とした。

29. 汚泥の計算 全域を図-2のように  $\Gamma = \Gamma_1 + \Gamma_2 + \cdots + \Gamma_6$  とし、境界条件として  $\Gamma_1$  で

$u = U = 3.57 \text{ cm/s}, v = 0, \Gamma_2$  で  $u = v = 0, \Gamma_3$  で  $u = 0, v = -0.0118 \text{ cm/s}, \Gamma_4$  で  $u = v = 0,$

$u = U = 3.57 \text{ cm/s}, v = 0, \Gamma_5$  で  $u = v = 0, \Gamma_6$  で  $u = v = 0$

とした。

30. 汚泥の計算 全域を図-2のように  $\Gamma = \Gamma_1 + \Gamma_2 + \cdots + \Gamma_6$  とし、境界条件として  $\Gamma_1$  で

$u = U = 3.57 \text{ cm/s}, v = 0, \Gamma_2$  で  $u = v = 0, \Gamma_3$  で  $u = 0, v = -0.0118 \text{ cm/s}, \Gamma_4$  で  $u = v = 0,$

&lt;p

$\Gamma_5 \tau'' u = u_2 = 2.82 \text{ cm/s}$ ,  $v = 0$ ,  $\Gamma_6 \tau'' \partial u / \partial y = 0$ ,  $v = 0$ ,  $p = 0$  とし,  
第1ステップとして  $p = \text{const}$  として、流れの定常解を差分法  
(ADI法)で求めた。図-3はその場合の流速分布である。

3. 拡散計算 基礎式は(4)であり、初期条件として、 $t=0$ で  
 $c(x,y)=0$ , 境界条件は  $\Gamma_5 \tau'' \hat{c}_{n1} = \hat{v}_n C_1$ ,  $\Gamma_6 \tau'' \hat{c}_{n2} = \hat{v}_n \frac{\partial c}{\partial n} +$   
 $\hat{v}_n C + \hat{w}_n C$ ,  $\Gamma_5 \tau'' \hat{c}_{n5} = -D_n \frac{\partial c}{\partial n} + \hat{v}_n C$ ,  $\Gamma_2, \Gamma_4, \Gamma_6 \tau'' \hat{c}_{n6} = 0$   
とし、ガラーキン有限要素法を用いた。図-4は領域のラグランジ二要素分割である。Cの近似関数を  $C_a = N_p C_p (N_p$  は形状関数)とし、式(4)に代入してこれを離散化する。

$$\sum_e \left[ C_p \iint_{Ae} N_p N_p dxdy + C_p \left\{ \iint_{Ae} \left( D_x \frac{\partial N_p}{\partial x} \frac{\partial N_p}{\partial x} + D_y \frac{\partial N_p}{\partial y} \frac{\partial N_p}{\partial y} - \frac{\partial N_p}{\partial x} N_p u \right. \right. \right. \\ \left. \left. \left. - \frac{\partial N_p}{\partial y} N_p v + \frac{\partial N_p}{\partial y} N_p w_o \right) dxdy \right\} \right] - S_a = 0 \quad (5)$$

$= 1$ ,

$$S_a = - \left[ \int_{\Gamma_1} N_p \hat{c}_{n1} d\Gamma + \int_{\Gamma_5} N_p \hat{c}_{n5} d\Gamma \right] \quad (6)$$

ただし、 $D_n(\partial c / \partial n) = l_x D_x (\partial c / \partial x) + l_y D_y (\partial c / \partial y)$ ,  $\hat{v}_n = l_x u + l_y v$ ,  
 $W_n = l_x 0 - l_y W_o$ ,  $M(l_x, l_y)$ は外向単位法線とする。自然座標系(3, 7)を基準とし、Gauss-Legendreの数値積分法を適用する。

$$\sum_e \left[ C_p \sum_{i=1}^q (N_p N_p \det[J] \bar{w})_i + C_p \sum_{i=1}^q \left\{ (D_x \frac{\partial N_p}{\partial x} \frac{\partial N_p}{\partial x} + D_y \frac{\partial N_p}{\partial y} \frac{\partial N_p}{\partial y} - \frac{\partial N_p}{\partial x} N_p u \right. \right. \right. \\ \left. \left. \left. - \frac{\partial N_p}{\partial y} N_p v + \frac{\partial N_p}{\partial y} N_p w_o \right) \det[J] \bar{w} \right\}_i \right] - S_a = 0 \quad (7)$$

$= 1$ ,  $C_p = \partial C_p / \partial t$ ,  $\bar{w}$ は重みであり、 $\det[J]$ はXコピアの行列式である。時間積分には Crank-Nicholson の陰的差分法を用いた。

4. 汚泥の沈降速度 汚泥を微細土粒子とみなし、代表土粒子径に対する沈降速度は Stokes 律とする、

$$w_o = g(\rho_s - \rho) d^3 / (18 \mu) \quad (8)$$

G.J. Kynch の理論によると、 $w_o$ は局所の濃度の関数であり、

$$w_o = k_C (C_b - C) / C_b^2 \quad (9)$$

$= 1$ ,  $\mu$ は水の粘性係数、 $d$ は代表土粒子径、 $k_C$ は定数、 $C_b$ は底部の濃度である。

5. 計算結果  $u_1 = 0.0356 \text{ m/s}$ ,  $C_1 = 1500 \text{ ppm}$ ,  $D_x = 0.2 \text{ m}^2/\text{s}$ ,  $D_y = 0.002 \text{ m}^2/\text{s}$ とした。表-1は計算した各ケースを示す。ケース1は  $w_o = 0$ とした場合で、図-5、図-6は計算開始17分後および100分後の濃度分布を示す。ケース2は式(8)に対応して、 $w_o = 0.001 \text{ m/s}$ とした場合で、図-7, 8, 9は計算開始33分、100分、および133分後の濃度分布を示す。ケース3は式(8)は満足時に発表する。

参考文献 1) 松原俊三郎、神吉和夫、藤信明、最終処理池の動態に関する水理学的研究(第一報)、建設工学研究所報、No. 23, 1981, 11, 2) G.J. Kynch, A Theory of Sedimentation, Transaction of the Faraday Society, Vol. 48, 1952.

表-1 計算条件

ケース	$u$ m/s	$v$ m/s	$w_o$ m/s	$\int_{\Gamma_1} \hat{c}_{n1} d\Gamma$	$\int_{\Gamma_5} \hat{c}_{n5} d\Gamma$
1			0		
2			0.001		$\hat{c}_{n1} = \hat{u}_1 \hat{C}_1$ 既知とした
3			Kynch		

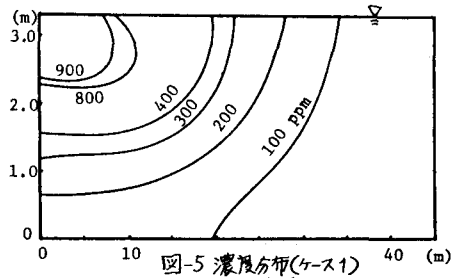


図-5 濃度分布(ケース1) 17分後

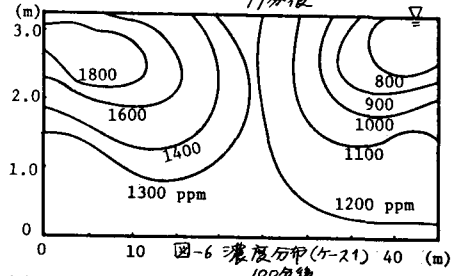


図-6 濃度分布(ケース1) 100分後

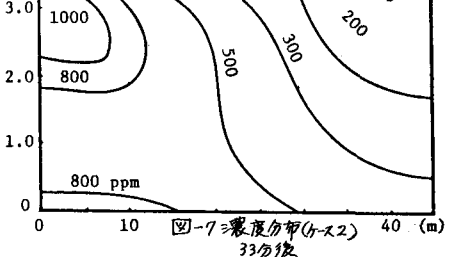


図-7 濃度分布(ケース2) 33分後

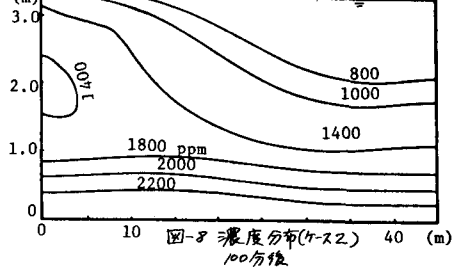


図-8 濃度分布(ケース2) 100分後

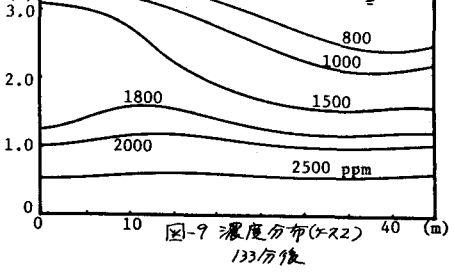


図-9 濃度分布(ケース2) 133分後